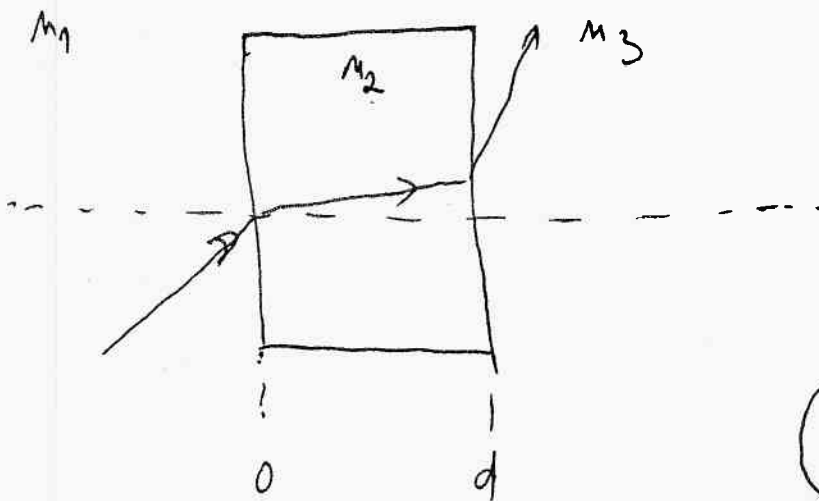


ABCD matice pro přechod deskou



1. Lom na rozhraní n_1/n_2

Matice lomu

$$\begin{pmatrix} 1 & 0 \\ \frac{1}{f} & \frac{n_1}{n_2} \end{pmatrix}; \frac{1}{f} = \frac{1}{R} \left(1 - \frac{n_1}{n_2}\right)$$

Rovně rozhraní, $R \rightarrow \infty$

$$\Rightarrow \frac{1}{f} = 0$$

\Rightarrow Matice lomu

$$\begin{pmatrix} 1 & 0 \\ 0 & \frac{n_1}{n_2} \end{pmatrix} \quad (1. \text{ rozhraní})$$

$$\begin{pmatrix} 1 & 0 \\ 0 & \frac{n_2}{n_3} \end{pmatrix} \quad (2. \text{ rozhraní})$$

Matice šíření $\begin{pmatrix} 1 & -d \\ 0 & 1 \end{pmatrix}$

celkově

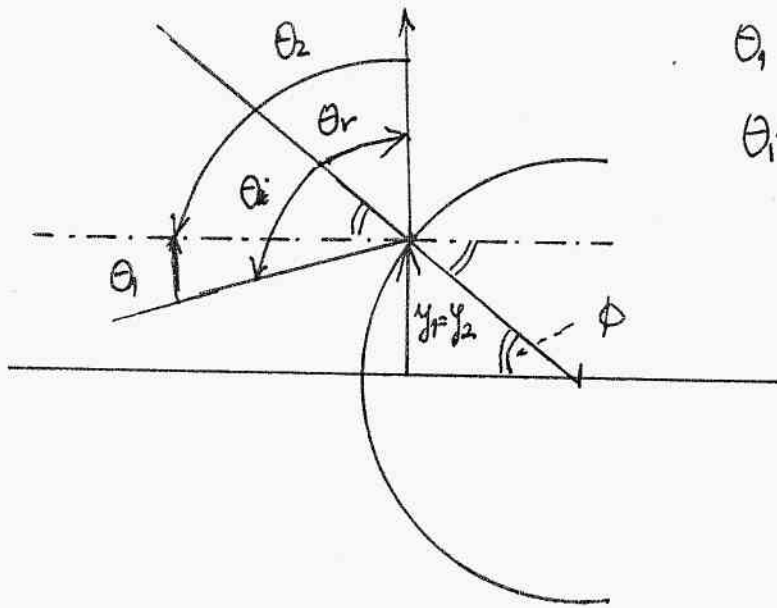
$$\begin{aligned} & \begin{pmatrix} 1 & 0 \\ 0 & \frac{n_2}{n_3} \end{pmatrix} \cdot \begin{pmatrix} 1 & -d \\ 0 & 1 \end{pmatrix} \cdot \begin{pmatrix} 1 & 0 \\ 0 & \frac{n_1}{n_2} \end{pmatrix} = \\ & = \begin{pmatrix} 1 & 0 \\ 0 & \frac{n_2}{n_3} \end{pmatrix} \cdot \begin{pmatrix} 1 & -d \frac{n_1}{n_2} \\ 0 & \frac{n_1}{n_2} \end{pmatrix} = \begin{pmatrix} 1 & -d \frac{n_1}{n_2} \\ 0 & \frac{n_1}{n_3} \end{pmatrix} \end{aligned}$$

Speciálně pro desku s indexem lomu

$n = n_2$ ve vlně ($n_1 = n_3 = 1$) dostáváme

$$\begin{pmatrix} 1 & -\frac{d}{n} \\ 0 & 1 \end{pmatrix}$$

Matrice odraza na kaloreku rozhrami'



$$\theta_1 < 0, \theta_2 > 0$$

$$\theta_i > 0, \theta_r < 0$$

$$\theta_i = -\theta_r$$

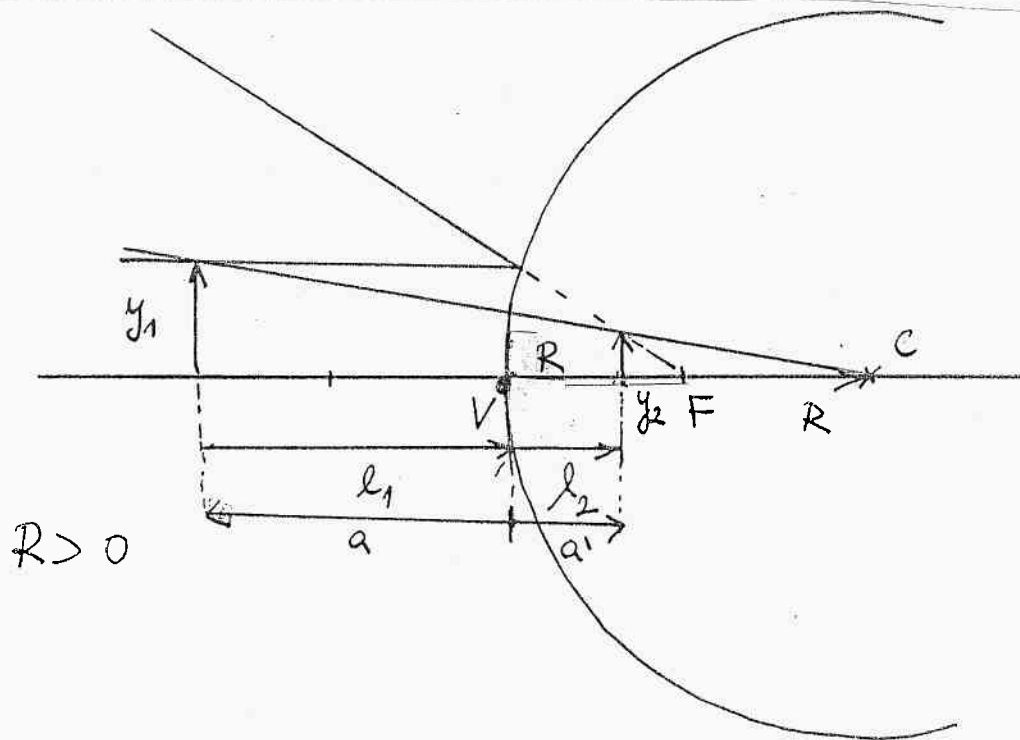
$$\phi = \theta_i + \theta_1$$

$$\phi = \theta_r + \theta_2 = -\theta_i + \theta_2$$

$$\Rightarrow \phi_2 = \phi + \theta_i = 2\phi - \theta_1 = \frac{2\phi_1}{R} - \theta_1$$

$$\Rightarrow \text{Matrice odraza} \begin{pmatrix} 1 & 0 \\ \frac{2}{R} & -1 \end{pmatrix}$$

Přenosová matice pro odraz no zrcadlo



$l_1, l_2 > 0$ $a < 0, a' > 0$ (pro vypuštělé, konvexní zrcadlo, kde $R > 0$)

$a < 0$ $a' < 0$ (pro duté, konkávní zrcadlo, kde $R < 0$)

$$\begin{pmatrix} 1 & -l_2 \\ 0 & 1 \end{pmatrix} \cdot \begin{pmatrix} 1 & 0 \\ \frac{2}{R} & -1 \end{pmatrix} \cdot \begin{pmatrix} 1 & -l_1 \\ 0 & 1 \end{pmatrix} =$$

$$= \begin{pmatrix} 1 & -l_2 \\ 0 & 1 \end{pmatrix} \cdot \begin{pmatrix} 1 & -l_1 \\ \frac{2}{R} & -\frac{2}{R}l_1 - 1 \end{pmatrix} = \begin{pmatrix} 1 - \frac{2l_2}{R} & -l_1 + \frac{2l_1 l_2}{R} + l_2 \\ \frac{2}{R} & -\frac{2}{R}l_1 - 1 \end{pmatrix}$$

⇔

Zabrazení ⇔ $B=0 \Rightarrow \frac{2l_1 l_2}{R} = l_1 - l_2$

$$\frac{2}{R} = \frac{l_1 - l_2}{l_1 l_2} = -\frac{1}{l_1} + \frac{1}{l_2} \quad \begin{matrix} l_1 = -a \\ l_2 = a' \end{matrix} \Rightarrow \boxed{\frac{2}{R} = \frac{1}{a} + \frac{1}{a'}}$$

$$\frac{2}{R} = \frac{1}{a} + \frac{1}{a'} \quad \dots \text{Zobrazovací rovnice pro zrcadlo}$$

$a \rightarrow -\infty$ (pak $a' = f' \rightarrow$ obrazové ohnisko)

Je-li: $R > 0$ (vypuklé, konvexní zrcadlo)

$$\text{Pak je } \frac{2}{R} = \frac{1}{f'} \quad ; \quad f' > 0$$

Je-li: $R < 0$ (duté zrcadlo)
 $\frac{2}{R} = \frac{1}{f'} \quad f' < 0$

$$\text{V obou případech je } |f'| = \left| \frac{R}{2} \right|$$

Ohnisko je v polovině vzdálenosti mezi středem kulové plochy a nebodem na optické ose.

$a' \rightarrow \pm \infty$ $a = f$ predmetové ohnisko

$$|a| = |f| = \left| \frac{R}{2} \right|$$

Zobrazení zrcadlem

Povrchem máte pro lom a odraz na kulovém zrcadle

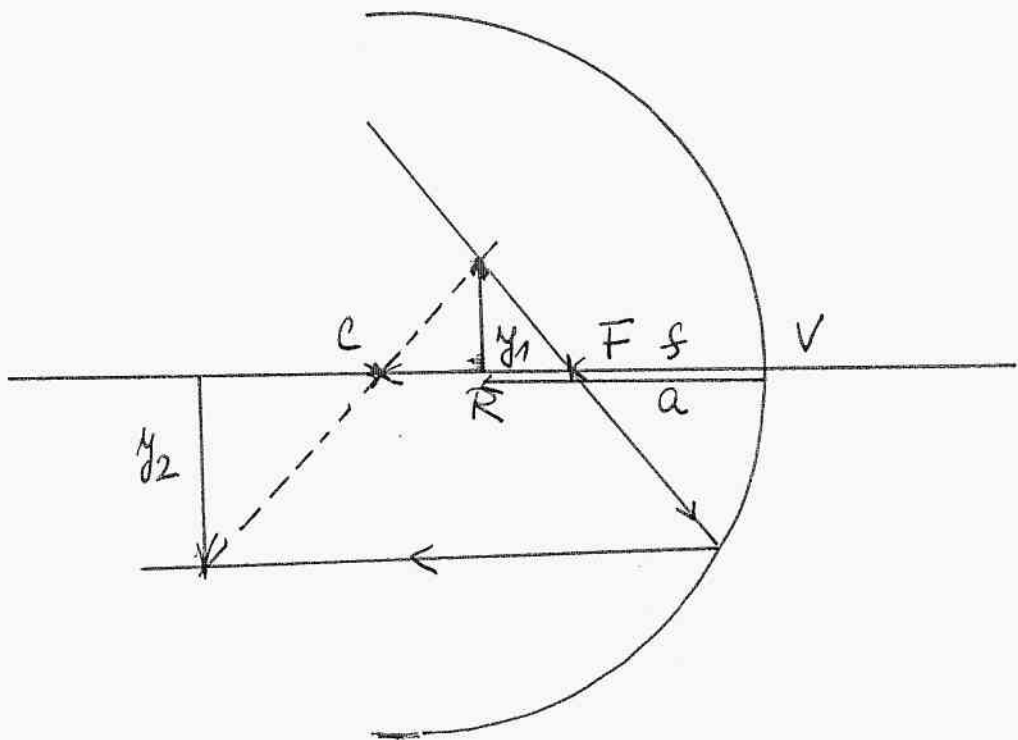
$$\frac{1}{f_i} = \frac{2}{R} \Rightarrow f' = \frac{R}{2}$$

$$\frac{f}{f'} = -\frac{m_i}{m_f} = -1$$

pro odraz

Děle' zrcadlo $R < 0$
(Konkávní)

$n_i = n_f$ při odrazu
(odraz do
prostředí se
stejným indexem
lomu)

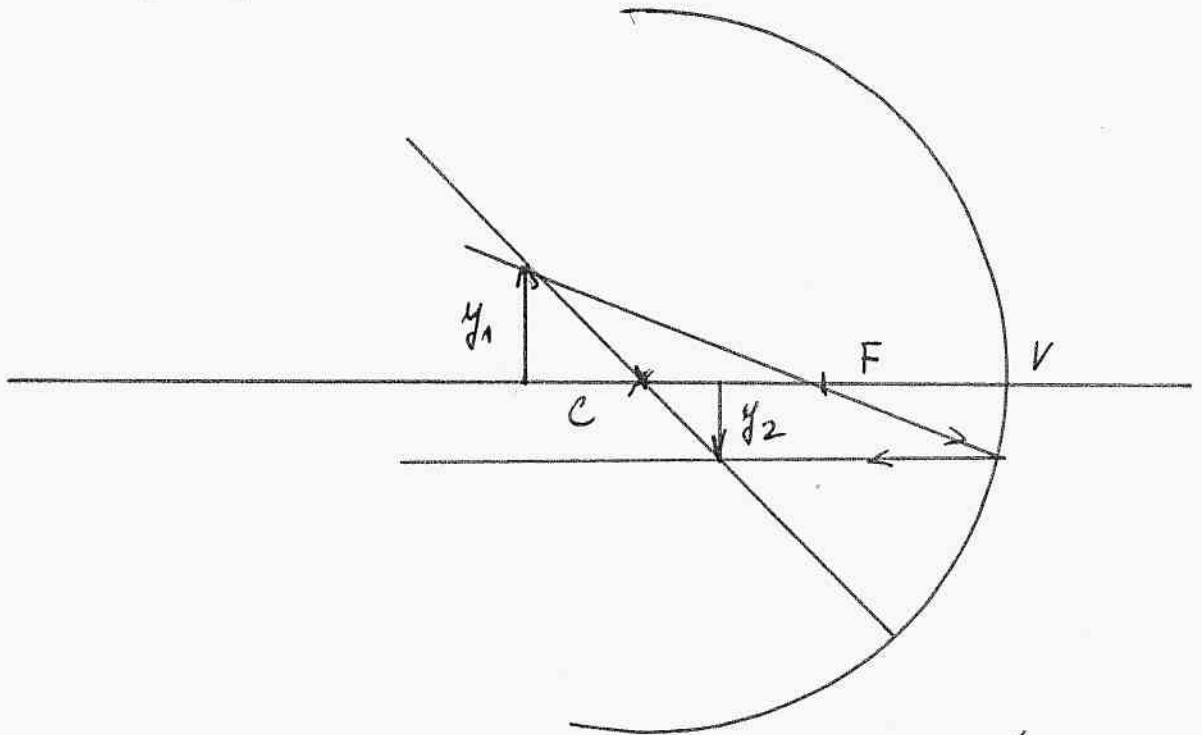


Obráz je zvětšený a invertovaný

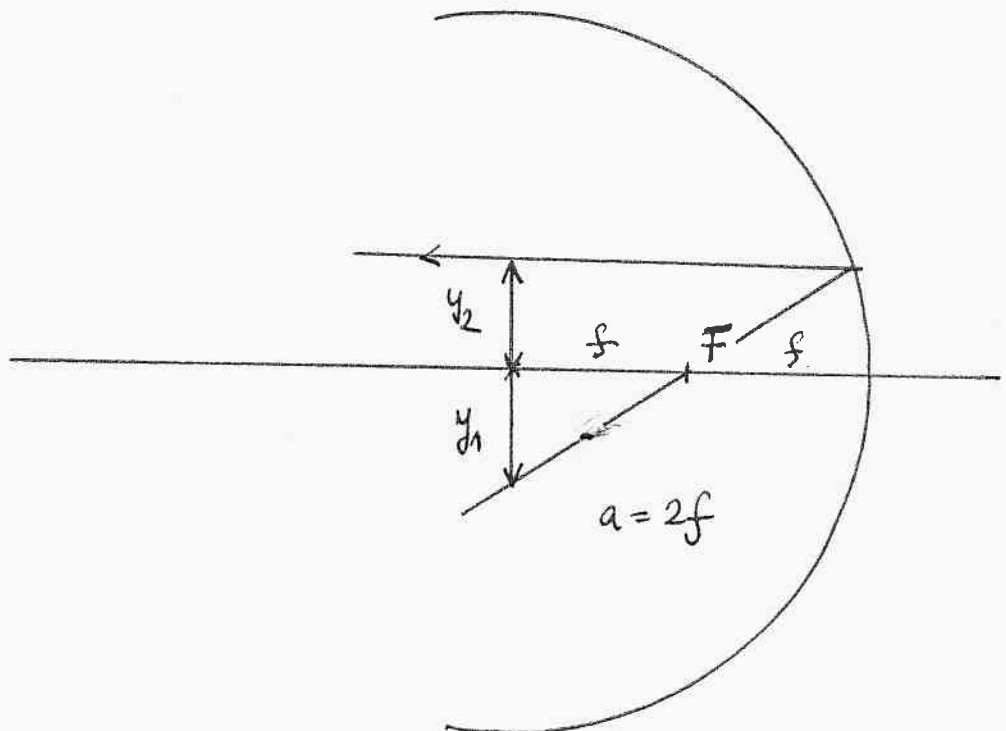
$$f < a < 2f$$

$$2f < a < \infty$$

a -- vzdálenost y_1 od
vrcholů V

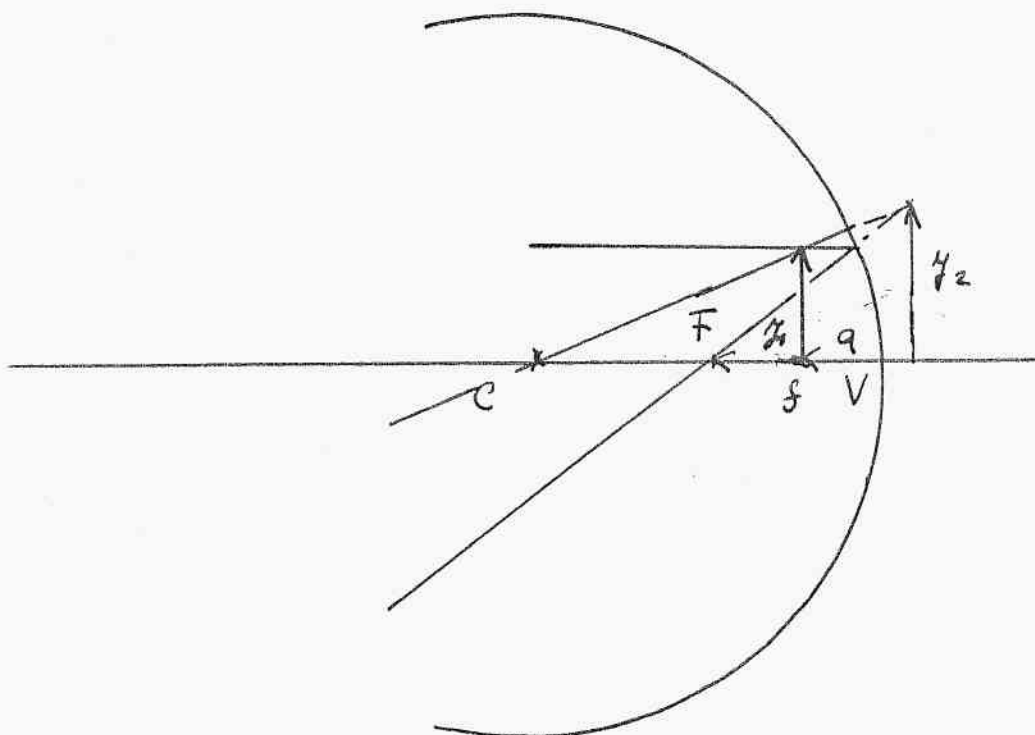


Obraz je invertovaný a zmenšený



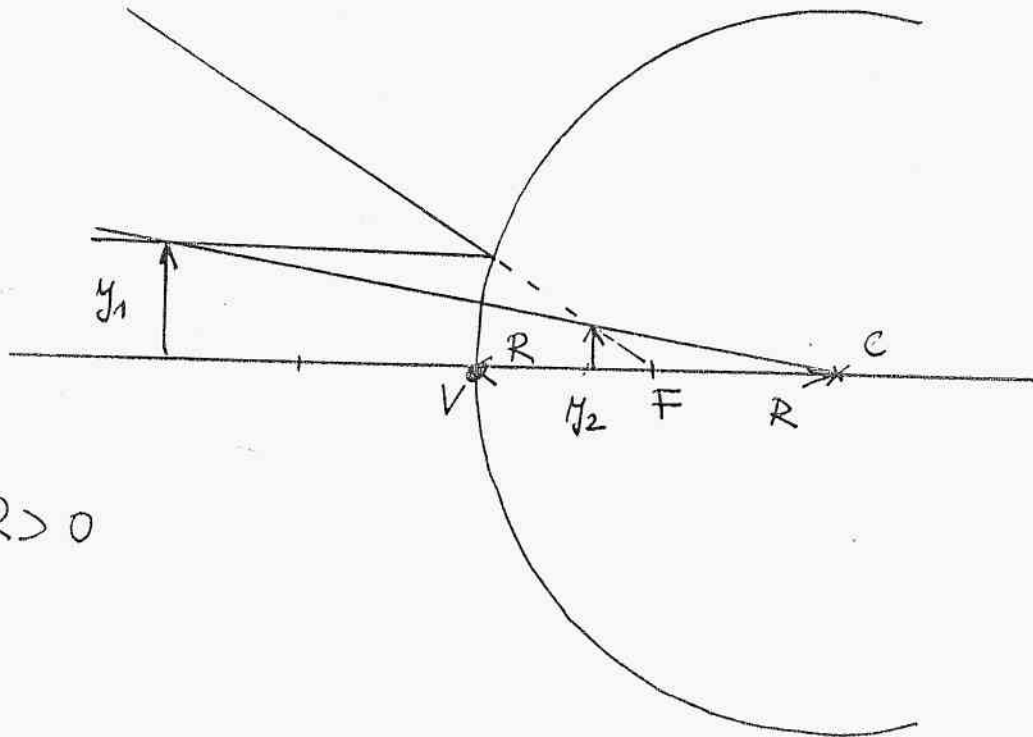
Je-li předmět ve středu kulové plochy,
vzniká ve stejnému místě invertovaný obraz
stejně velikosti.

$$a < f$$



Obraz je virtuální, nepřímý a
zvětšený!

Vypuklé zrcadlo
(konvexní)

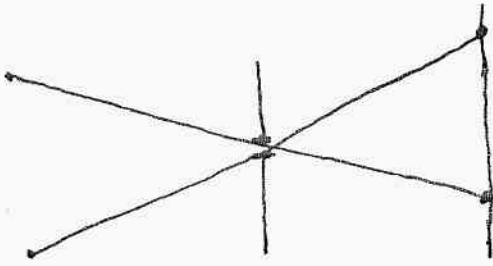


$$R > 0$$

Obraz je virtuální, přímý a zmenšený pro libovolnou polohu objektu před zrcadlem.

Fotaparát

Nejednoduchosti - tzv. camera obscura



Malý otvor

Stínítko = detektor

Do každého bodu obrazu dopadají paprsky
vycházející přibližně z jednoho bodu předmětu.
Každému bodu světla odpovídá kružnice v rovině
detektoru. Velikost kružnice je přímo úměrná čtverci

průměru vlny ... kružnice se přibližují,
obraz je rozostřený. Při malé vlně - vzniká
difrakce, obraz je opět rozostřený.

Výhoda ... jednoduchá optická soustava, není třeba
ní nastavovat

Nevýhoda - dlouhá doba expozice světla = dlouhá
expoziční časy

Průběh fotoaparátu je omezen rozlišením snímáče na
filmu nebo velikostí pixelu na čipu v digit.
fotoaparátu. Rozlišení filmu - obvykle 5 μm.

Vady optického zobrazení

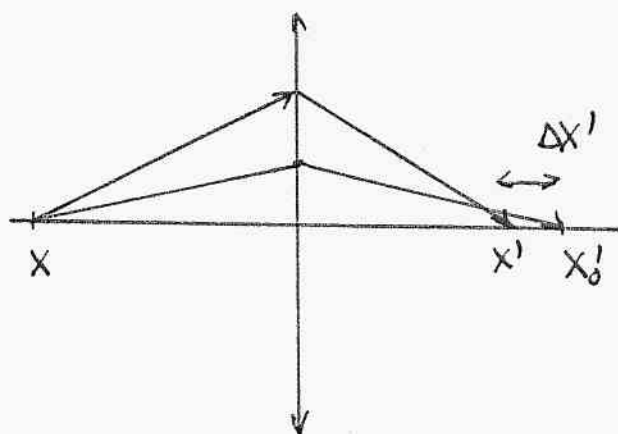
Ideální zobrazení - paprsky z předmětové
 bodu se po průchodu optickou soustavou sbíhají
 v obrazové bodě - případ sbíhavých paprsků.
 V případě rozbíhavých paprsků se jejich zřetel
 prodloužením sbíhají ve vzdálené bodě.

Ideální zobrazení - ... - pouze paraxiální prostor
 - pouze monochromatické
 záření.

Vady - monochromatické (otvorová, astigmatismus,
 zkreslení, ztlumení, kóma)
 - barevné - způsobeny rozdílným
 indexem lomu pro různé
 vlnové délky

Otvorová vada (sferická aberace)

Vzniká při zobrazení předmětu na optické
 ose monochromatickým světlem.



X_0 ... paraxiální
 obraz X

$\Delta X'$... podélná otvorová vada

Pro spojku ovšem je $\Delta X' < 0$ (X' je nalevo od X_0)

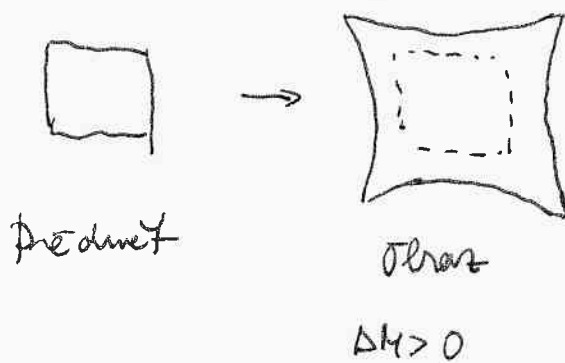
Pro rozptylnou soustavu

Oměření prostorové vady .. zvláště obrovských paprsků

Zvětšení (dětore)

- předmětový bod leží mimo optickou osu
Monochromatické světlo

Příčina zvětšení je nestupná neladost přímého
zvětšení v celém obrazovém poli.

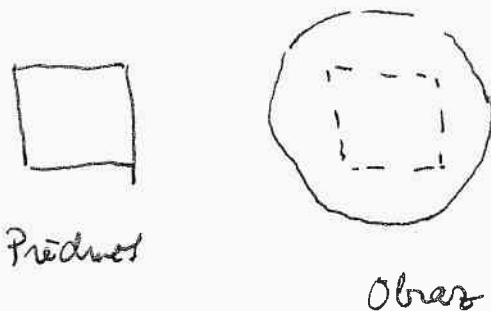


Podélné zvětšení

$$\Delta M = \frac{M_I - M}{M}$$

M_I ... zvětšení na
optické ose

M ... zvětšení mimo
optickou osu



Sférické zvětšení

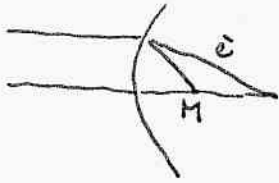
$$\Delta M < 0$$

Astigmatismus

Astigmatické zobrazení je nebodové - bod
se zobrazí jako 2 úsečky. Dochází k němu
při zobrazení předmětu ležícího mimo optickou
osu monochromatickým světlem.

Barvová řada

- Dává různou velikost indexu lomu pro různé vlnové délky (dispese)



Červená paprsky se lámou
nejméně, fialová nejvíce
Bod se zabývá jako řada bodů
s různou barvou

Barvovou řadu lze získat kombinací
stojné a rozptýlené světly

Skládání vln s frekvencemi z určitého intervalu (kvazimonochromatické světlo)

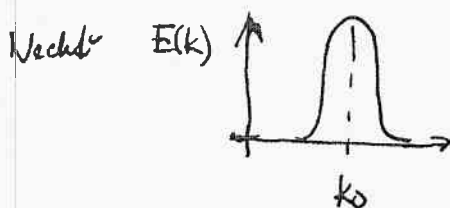
$\omega = \omega(k)$ disperzní vztah

např. $\omega = ck$ vakuem

$$\omega = vk = \frac{c}{n(\omega)} k \quad \dots \text{ látka}$$

Konstruujeme vlnový balík jako superpozici vln

$$E(z,t) = \int dk E(k) e^{i(kz - \omega t)}$$



$$[E(z)] = \frac{V}{m}$$

$$k = \frac{2\pi}{\lambda} \quad [k] = \frac{\text{rad}}{m}$$

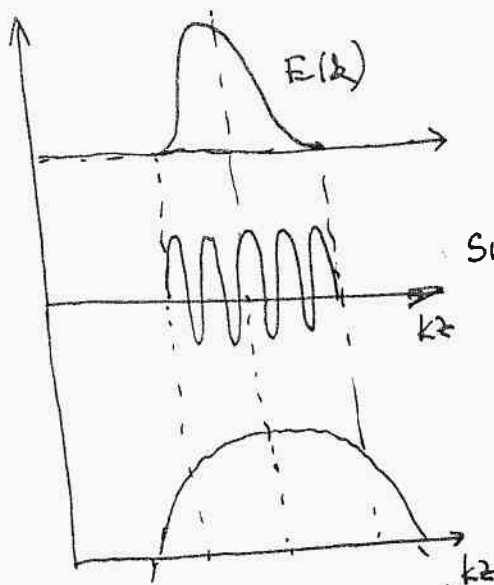
Bude nás zajímat, jak rychle se tento balík pohybuje. Nejprve to

ukážeme přibližně s využitím principu konstantní fáze.

$$\Rightarrow \left[\int dk E(k) e^{i(kz - \omega t)} \right] = E(z,t)$$

$$= \frac{\text{rad}}{m} \cdot \frac{V}{\text{rad}} \cdot 1 = \frac{V}{m}$$

Rozevír funkce $E(k)$ při skládání vlnovoto balíku je $\frac{V}{\text{rad}}$.



$\sin kz$ (nebo $\cos kz$)
(Varianta I)

$\sin kz$ (nebo $\cos kz$)
(Varianta II)

Aby $\int E(k) \sin kz \, dk$ nebo $\int E(k) \cos kz \, dk$ vytvořil
 vlnový balíček, je třeba aby malo se měnící
 funkce $E(k)$, $\left(\frac{-\Delta k}{2} \leq k \leq \frac{\Delta k}{2} \right)$ byla v integrálu
 násobena malo se měnící funkcí $\sin kz$ nebo
 $\cos kz$. V případě varianty I je harmonická
 funkce rychle oscilující, takže $\int E(k) \sin kz \, dk$ je
 na daném intervalu integrace téměř nulový -
 - vlnový balíček se narybní. V případě
 varianty II je integrál téměř maximální, neboť
 harmonická funkce je na intervalu integrace
 téměř konstantní.

Pro odhad šířky balíčku a jeho rychlosti
 budeme předpokládat, že fáze $\varphi = kz - \omega t$ je
 na intervalu integrace $\left(k_0 - \frac{\Delta k}{2}, k_0 + \frac{\Delta k}{2} \right)$ konstantní.

$$\varphi = kz - \omega(k)t = \text{konstanta}$$

Provedeme derivaci + brdění k_0

$$\left. \frac{d\varphi}{dk} \right|_{k_0} = z - \left. \frac{d\omega}{dk} \right|_{k_0} \cdot t = 0$$

Máme rovnici a význam rychlosti.

$$\text{Definujeme ji jako } v_g = \left. \frac{d\omega}{dk} \right|_{k_0}$$

.. grupová rychlost = rychlost šířky balíčku

Yakni φ nyní' můžeme psát jako

$$\varphi = kz - \omega t = k \left(z - \frac{\omega}{k} t \right) = k \left(z - \left. \frac{d\omega}{dk} \right|_{k_0} \cdot t \right)$$

a

$$E(z,t) = \int dk E(k) e^{i(kz - \omega t)} = \int dk E(k) e^{ik \left(z - \left. \frac{d\omega}{dk} \right|_{k_0} \cdot t \right)}$$

$$E(z,0) = \int dk E(k) e^{ikz}$$

Balíky v čase $t=0$ a $t=t$ jsou navzájem posunuté

$$\text{o } \left. \frac{d\omega}{dk} \right|_{k_0} \cdot t = v_{gr} \cdot t \text{ ve směru kladné osy } x.$$

Nyní spočítáme grupovou rychlost pomocí Taylorova rozvoje

Rozvíjíme frekvenci $\omega(k)$ kolem středu balíku k_0

$$\omega(k) = \omega(k_0) + (k-k_0) \left. \frac{d\omega}{dk} \right|_{k_0} + \underbrace{\frac{1}{2} (k-k_0)^2 \left. \frac{d^2\omega}{dk^2} \right|_{k_0}}_{O(k^2)} + \dots$$

$$E(z,t) = e^{-i\omega(k_0)t} \cdot e^{ik_0 \left. \frac{d\omega}{dk} \right|_{k_0} t} \int dk E(k) e^{ik \left(z - \left. \frac{d\omega}{dk} \right|_{k_0} \cdot t \right)}$$

$$|E(z,t)| = \left| \int dk e^{ik \left(z - \left. \frac{d\omega}{dk} \right|_{k_0} \cdot t \right)} \right|$$

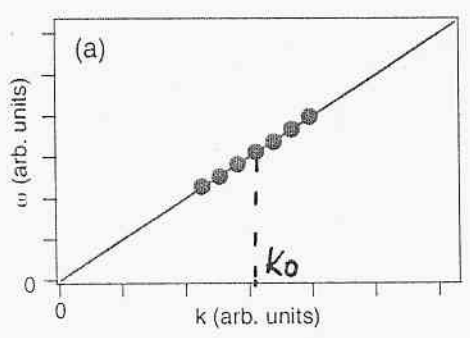
$$|E(z,0)| = \left| \int dk e^{ikz} \right|$$

$$\Rightarrow |E(z,t)| = |E(z - \left. \frac{d\omega}{dk} \right|_{k_0} \cdot t, 0)|$$

Amplituda vlny v čase t je amplituda vlny v čase 0 posunutá o $\left. \frac{d\omega}{dk} \right|_{k_0} \cdot t = v_{gr} \cdot t$ ve směru kladné osy z .

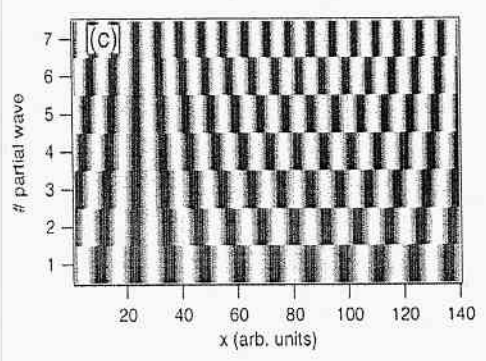
Pro konkrétní popis šíření balíků je třeba znát konkrétní závislost $\omega = \omega(k)$ - disperzní vztah

Elektromagnetické vlny ve vakuu



$$v_p = \frac{\omega}{k} = c$$

$$v_g = \left. \frac{d\omega}{dk} \right|_{k_0} = c$$



Fázové a grupová rychlost jsou stejné! Tj. vlnové složky vlnového balíku se šíří rychlostí c , stejně jako obal vlnového balíku

Disperzní vztahy ve fyzice mají širokou paletu fundamentálních závislostí a zahrnují vlnové typy vln - elektromagnetické, mechanické i kvantové mechanické vlny pravděpodobnosti.

Veš projdeme k rozboru disperzních vztahů pro šíření EM vln v látce, popíšeme jednoduché vztahy, které se vyskytují v kvantové mechanice a při šíření mechanických vln v látce.

Volna; nerelativistická mechanika částice o hmotnosti m

$$\lambda = \frac{h}{p} \Rightarrow p = \frac{h}{\lambda} =$$

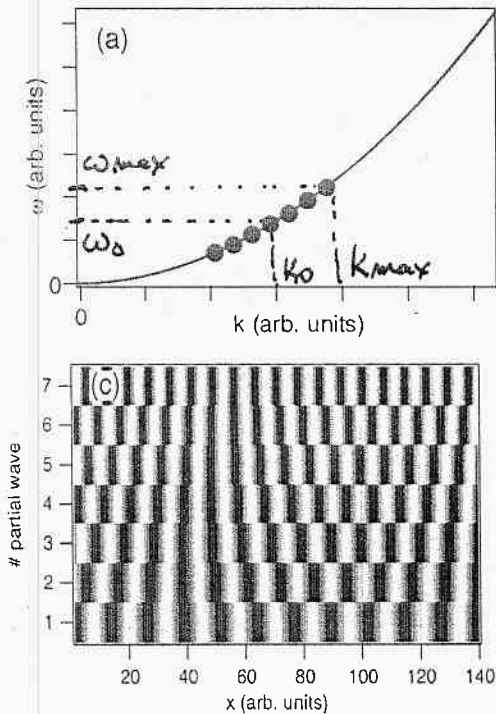
$$= \frac{2\pi}{\lambda} \cdot \frac{h}{2\pi} = \hbar k$$

$$E = \hbar \omega$$

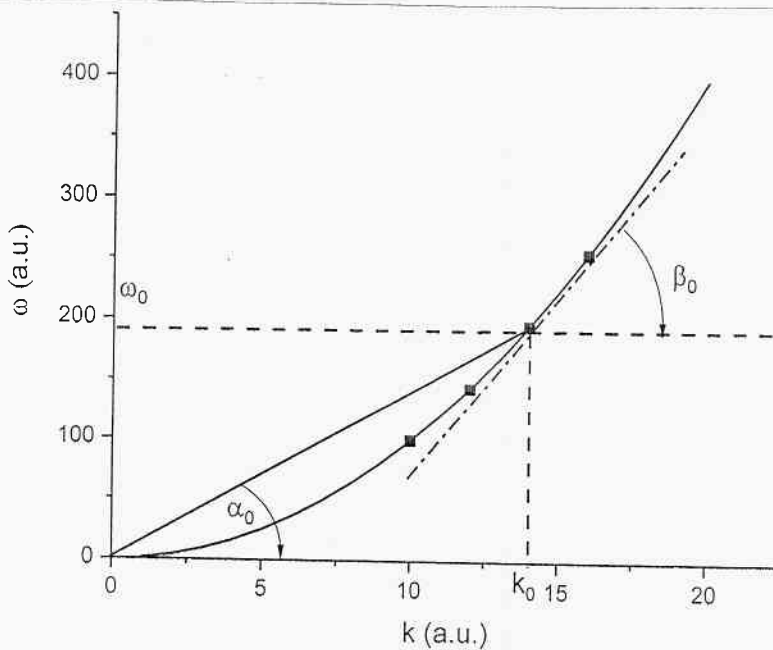
De Broglieho vlna

$$E = \hbar \omega(k) = \frac{p^2}{2m} = \frac{\hbar^2 k^2}{2m}$$

$$\Rightarrow \omega(k) = \frac{\hbar k^2}{2m}$$



Grafické učené fáze a grupové rychlosti



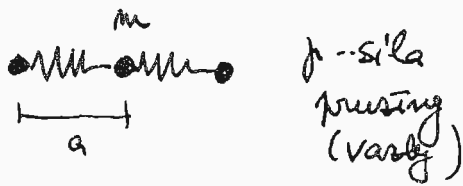
$$v_p|_{k_0} = \frac{\omega}{k_0} = \frac{\hbar k_0}{2m}$$

$$= \tan \alpha_0$$

$$v_g(k_0) = \left. \frac{d\omega}{dk} \right|_{k_0} = \frac{\hbar k}{m} = \tan \beta_0$$

$$v_g > v_p$$

Kmity lineárního řetězku atomů



$$\omega(k) = 2 \sqrt{\frac{\mu}{m}} \left| \sin \frac{ka}{2} \right|$$

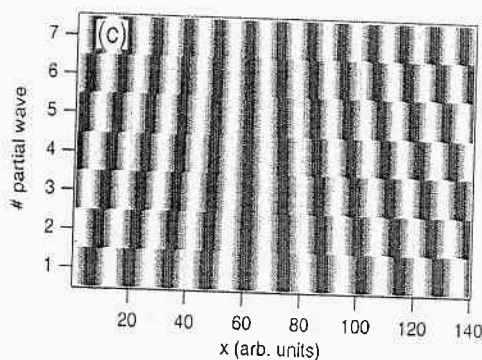
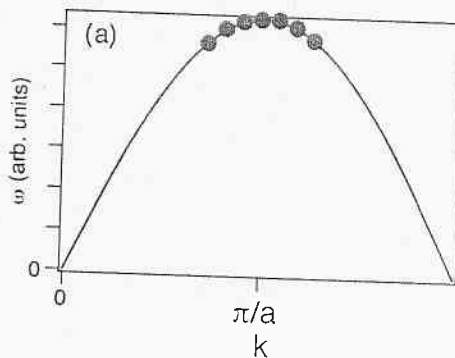
V bodech $\frac{\pi}{a}$ je

$$\omega\left(\frac{\pi}{a}\right) = 2 \sqrt{\frac{\mu}{m}}$$

$$v_g \Big|_{\frac{\pi}{a}} = \frac{\omega}{k} \Big|_{\frac{\pi}{a}} = \frac{2 \sqrt{\frac{\mu}{m}}}{\frac{\pi}{a}} =$$

$$= \frac{2a}{\pi} \sqrt{\frac{\mu}{m}}$$

st. $v_g = \frac{d\omega}{dk} \Big|_{\frac{\pi}{a}} = 0$



Disperze' vlnch světla v látce

$$\omega = v_p k(\omega) \quad v_p = \frac{c}{n(\omega)} \quad \Rightarrow \quad \lambda(\omega) = n(\omega) \cdot \frac{\omega}{c}$$

Kolem $\omega = \omega_0$ (odpovídající $\lambda = \lambda_0$) můžeme index lomu rozvinout do Taylorovy řady

$$n(\omega) = n(\omega_0) + \frac{dn}{d\omega} \Big|_{\omega_0} (\omega - \omega_0) + \dots$$

$$\lambda(\omega) \approx \left[n(\omega_0) + \frac{dn}{d\omega} \Big|_{\omega_0} (\omega - \omega_0) \right] \cdot \frac{\omega}{c}$$

$$dk = k(\omega_0 + d\omega) - k(\omega_0) =$$

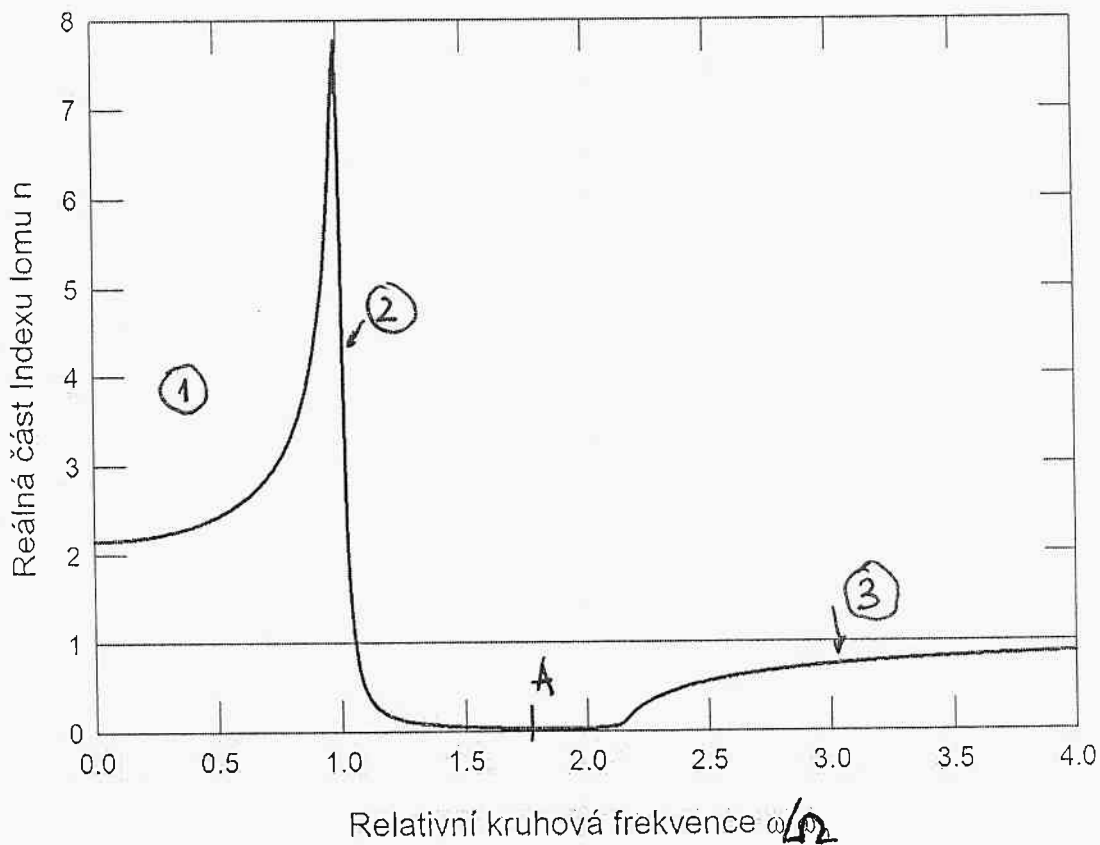
$$= \left[n(\omega_0) + \left. \frac{dn}{d\omega} \right|_{\omega_0} (\omega_0 + d\omega - \omega_0) \right] \frac{(\omega_0 + d\omega)}{c} - n(\omega_0) \cdot \frac{\omega}{c} =$$

$$= \frac{n(\omega_0)\omega_0}{c} + \frac{n(\omega_0)d\omega}{c} + \left. \frac{dn}{d\omega} \right|_{\omega_0} \frac{\omega_0 d\omega}{c} + \left. \frac{dn}{d\omega} \right|_{\omega_0} \frac{(d\omega)^2}{c} - n(\omega_0) \frac{\omega}{c} =$$

$$\approx \frac{n(\omega_0) \cdot d\omega}{c} + \left. \frac{dn}{d\omega} \right|_{\omega_0} \cdot \frac{d\omega}{c} = \left[n(\omega_0) + \left. \frac{dn}{d\omega} \right|_{\omega_0} \right] \cdot \frac{d\omega}{c} =$$

$$= dk \quad \Rightarrow \quad \frac{d\omega}{dk} = v_g = \frac{c}{n(\omega_0) + \left. \frac{dn}{d\omega} \right|_{\omega_0}}$$

Konkrétní frekvenci zamíslat u jímé odvození
u Lorentzové modelce k případ 1 oscilátoru s rez.
frekvencí Ω .



A.. hranice mezi (2) a (3). Oblastmi anomální
a normální disperze

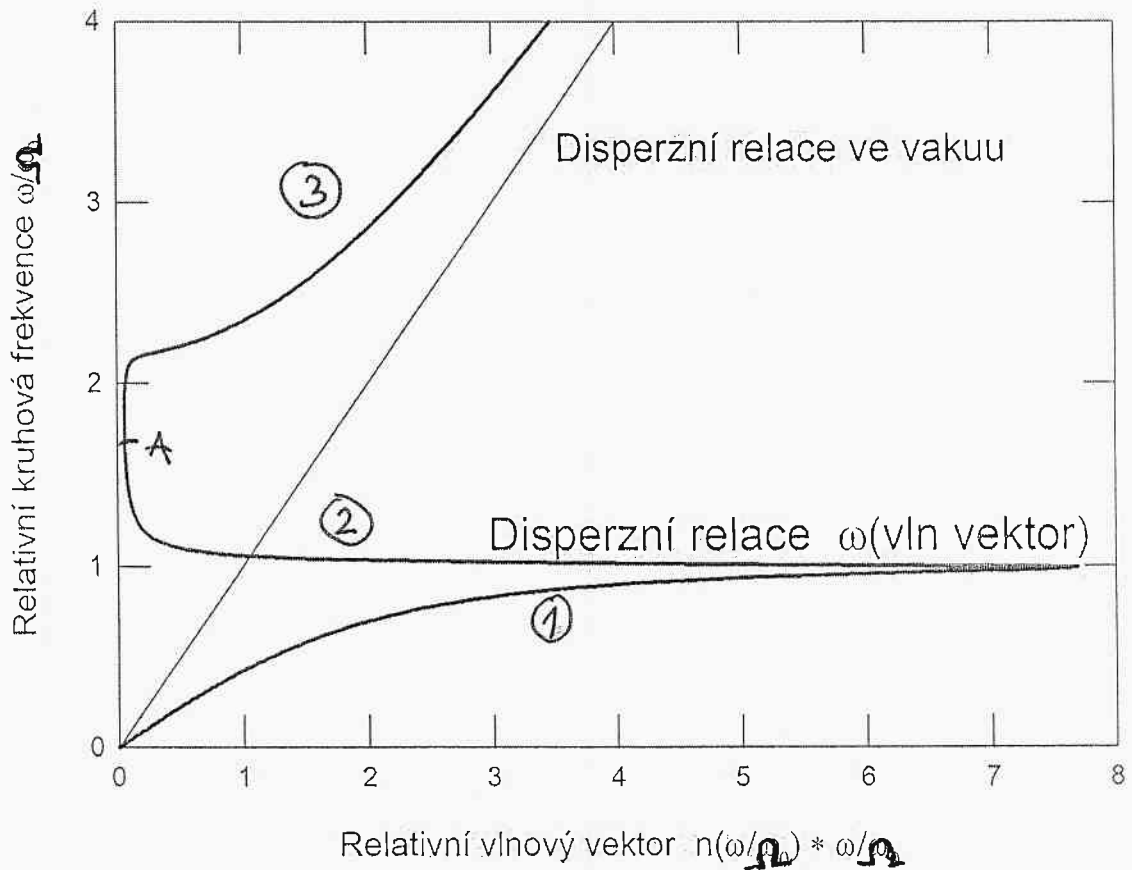
V oblasti ① je: $\omega < \Omega$ (typická situace šíření v dielektriku) je: $\frac{dn}{d\omega} > 0$

- oblast normální disperze. Oblast ② --- $\omega > \Omega$,

$\frac{dn}{d\omega} < 0$... oblast anomální disperze. V oblasti ③ je

opět $\frac{dn}{d\omega} > 0$ --- normální disperze. Po vyjmutí

$k(\omega) = n(\omega) \cdot \frac{\omega}{c}$ dostáváme disperzní závislost



Oblast ①

$$\frac{dn}{d\omega} > 0$$

$$v_g = \frac{c}{n + \frac{dn}{d\omega} \frac{\omega}{\omega_0}}$$

$$v_p = \frac{c}{n(\omega_0)}$$

$$v_g > 0, \quad v_g < v_p$$

Oblast ③

$$\frac{dn}{d\omega} > 0, \quad v_g > 0, \quad v_g < v_p$$

Normální
disperze



Oblast ② ... oblast anomální disperze

zde $\frac{dn}{d\omega} < 0$ $v_g = \frac{c}{n + \frac{dn}{d\omega} \frac{\omega}{\omega_0}} < v_p$

Podle konkrétního průběhu, tj. vzájemné velikosti

n a $\frac{dn}{d\omega}$ může být $v_g > \infty$ nebo záporná!

